

## طراحی، ساخت و ارزیابی سامانه تک چرخ شنی آزمایشگاهی

هوشنگ محبوب ینگجه<sup>۱</sup>، مازیار فیض الله زاده<sup>۲</sup>، عارف مردانی کرانی<sup>۳</sup>

- ۱- دانشجوی دکتری گروه مهندسی مکانیک بیوسیستم، دانشگاه ارومیه، ارومیه، ایران
- ۲- دانش آموخته دکتری گروه مهندسی مکانیک بیوسیستم، دانشگاه ارومیه، ارومیه، ایران
- ۳- دانشیار گروه مهندسی مکانیک بیوسیستم، دانشگاه ارومیه، ارومیه، ایران

### چکیده

تردد وسیله نقلیه بر روی خاک از طریق سطح تماس چرخ با خاک و اندرکنش چرخ-خاک صورت می‌گیرد. با توجه به گسترش کاربرد ماشین آلات و روند افزایشی وزن آن‌ها برای بالا بردن عملکرد، تردد این ماشین‌ها مباحثی از جمله تنش ایجادی بر خاک، بهبود کشش و کاهش مصرف انرژی را حائز اهمیت می‌سازد. در این پژوهش اقدام به طراحی و ساخت یک سامانه تک چرخ شنی آزمایشگاهی گردید. برای انجام آزمایش‌ها، تجهیز چرخ شنی و چرخ بادی بر روی حامل انباره خاک با خاکی از نوع لومی-رسی قرار گرفت. تنش‌ها و نشت خاک زیر چرخ‌ها در عمق‌های ۸، ۱۴ و ۲۴ سانتی‌متر خاک و در ترددات ۱، ۷ و ۲۰ با سرعت ثابت ۱ کیلومتر بر ساعت لندازه گیری شد. نتایج ارزیابی کار دستگاه و آزمایش‌ها حاکی از عملکرد قابل قبول و معنی دار مکانیسم چرخ شنی و همچنین پایین بودن فشار زیر چرخ شنی است. به طوری که در ترددات ۱، ۷ و ۲۰ به ترتیب ۷۷، ۹۷ و ۲۵ درصد چرخ شنی نشت کمتری نسبت به چرخ بادی در خاک ایجاد کرده است.

کلمات کلیدی: چرخ شنی، چرخ بادی، تراکم خاک، انباره خاک، تراکم مکانیک.

\*نویسنده مسئول: هوشنگ محبوب ینگجه

### ۱- مقدمه

امروزه کشاورزی مدرن مستلزم تحقیق در زمینه طرح‌های جدید در ارتباط با طراحی و چیدمان چرخ ماشین‌های برون‌جاده‌ای از جمله تراکتور را دارد. چراکه منجر به بهبود کشش تراکتور، کاهش تراکم خاک و حذف پارامترهای مزاحم در برهم‌کنش بین خاک و تایر می‌گردد. به طور کلی وظیفه یک چرخ تحمل بخشی از وزن ماشین، تأمین کشش و راه‌اندازی ماشین است. عملکرد یک چرخ، طی فرایند درگیری با زمین، علاوه بر شرایط بارگذاری و چگونگی سطح زیوین چرخ، تحت تأثیر هندسه و ساختار فیزیکی چرخ هم قرار دارد. همچنین در خصوص متغیرهای کلیدی در مدل‌های تحرک ماشین‌های برون‌جاده‌ای، می‌توان به شکل و طرح چرخ‌ها، خصوصیات خاک و ناهمواری‌های زمین، دینامیک وسایل نقلیه و برهم‌کنش وسایل نقلیه و زمین اشاره کرد. همچنین زمانی که باز عمودی وارده بر خاک

از محدوده مجاز تجاوز می‌کند در این وضعیت خاک با پدیده مخربی به نام تراکم مواجه خواهد شد. از عوامل تأثیرگذار بر پدیده تراکم خاک می‌توان به افزایش ادوات و ابزارهای درگیر با خاک، ماشینهای کشاورزی جدید و سنگین، مشخصه‌های طرح و ابعادی لاستیک در تماس با خاک و غیره اشاره کرد. تراکم خاک یک نگرانی عمده در زمینه مدیریت کشاورزی است چراکه به صورت مثبت و یا منفی می‌تواند بر رشد و عملکرد محصول تأثیر بگذارد [۱]. تراکم متوسط می‌تواند سرعت جوانه‌زنی بذر را افزایش و میزان تلفات آب را کاهش دهد در حالی که تراکم بیش از حد باعث افزایش سختی و مقاومت خاک و کاهش منافذ و فضای مناسب (کاهش تخلخل) برای طول عمر ریشه می‌گردد [۳و۲]. تراکم به وجود آمده در مزارع بهنوبه خود منجر به فرسایش خاک، عدم نفوذ آب، جاری شدن سیالابها و جابجایی لایه خاک حاصلخیز سطحی، کاهش تقویه خاک، کاهش مواد در دسترس گیاه، کاهش عملکرد محصول در هکتار، تشکیل زودهنگام و سطحی لایه سخت، مشکلات زهکشی و شوری خاک، فرسایش شدید ابزار خاک ورز بهویژه در خاک‌ورزی اولیه، افزایش مصرف ویژه‌ی سوخت عملیات خاک‌ورزی و فرسایش آبی و خاکی را به دنبال دارد. مطالعات تحقیقاتی انجام شده در خصوص رابطه ماشین و خاک‌نشان می‌دهد که حدود ۵۰-۲۰٪ از انرژی انتقال یافته به چرخ‌های محرك یک کشنده برون جاده‌ای (تراکتور) در تعامل تایر-خاک هدر می‌رود. علاوه بر هدر رفت انرژی، بخشی از این انرژی صرف تراکم خاک می‌گردد که برای تولید محصولات مضر است [۴].

چرخ شنی نیز یکی از سامانه‌های مهم تحرکی برای وسایل نقلیه برون جاده‌ای است، بنابراین مطالعه رفتار آن از اهمیت اساسی برخوردار است. آزمایش‌های تجربی متعددی برای مقایسه عملکرد بین سامانه‌های چرخی بادی و چرخ شنی اجراشده است. در این تحقیقات استفاده بیشتر از چرخ‌های معمولی بادی ارائه شده است و مزایای صریح آن‌ها از نقطه نظر فنی و عملکردی بیان شده است، اما از طرفی محدودیت آن‌ها در حمل و نقل و عملکرد کششی در اراضی و زمین‌های نامساعد (برون جاده‌ای) مطرح شده است [۵]. طی تحقیقی به بررسی و بیبود عملکرد کشش تراکتورهای مجهز به چرخ شنی لاستیکی در چند نمونه خاک کشاورزی پرداخته شد. نتایج حاصل از این تحقیق نشان داد که در تمام خاک‌های مورد آزمایش کشش مابندی و بازدهی کششی در تراکتور مجهز به چرخ شنی بیشتر از تراکتور چرخ بادی است [۶].

سیستم‌های چرخ شنی از لحاظ طراحی و فناوری پیچیده‌تر هستند. مطالعات زیادی بر مسائلی همچون راحتی رانندگی، مقایسه چرخ شنی لاستیکی با چرخ شنی زنجیری در موقعیت حمل و نقل، وزن چرخ‌ها، هزینه‌های سرویس و تعمیر انجام شد. در نتایج چرخ شنی لاستیکی دارای مقبولیت بیشتری است و معمولاً از شنی‌های فلزی برای وسایل نقلیه سنتی نظیر تانک‌ها و وسایل راه‌سازی و یا صنعتی بزرگ استفاده می‌شود. همچنین پژوهش‌هایی در تائید عملکرد کششی مطلوب‌تر و آسیب کمتر به خاک توسط چرخ شنی لاستیکی در مقایسه با چرخ شنی فولادی ارائه شده است [۷، ۸ و ۹]. اگرچه چرخ شنی دارای محدودیت‌هایی در خصوص هدایت و فرمان‌گیری است [۱۰، ۱۱، ۱۲ و ۱۳]. اما مطالعات متعددی در این زمینه برای پیشنهاد طرحی بهتر و این‌تر به انجام رسیده است [۱۴]. همچنین شبیه‌سازی‌های سه‌بعدی از برهم‌کنش چرخ شنی-خاک با نرم افزارها انجام شده است. در پژوهشی شبیه‌سازی برای ارائه مدل دینامیکی ساده، سریع و قابل اعتماد برای وسیله نقلیه شنی برون جاده‌ای در زمین دارای موانع کار شد. در این تحقیق مدل بر اساس روش دینامیک اجرای گستته (DBD) و تکیه بر معادلاتی که برای وسیله نقلیه چرخ دار اثبات شده است، انجام گرفت. نتایج قبل قبولی در تشابه با برنامه‌های تجاری و کاهش سرعت در محاسبات ارائه گردید [۱۵]. همچنین طی مطالعاتی فرض بر این بود که بار از طرف چرخ منبع اصلی تنش‌های زیاد در زیر خاک است. اهداف این مطالعات، استفاده از چرخ شنی به جای چرخ بادی به عنوان یک راه حل فنی برای

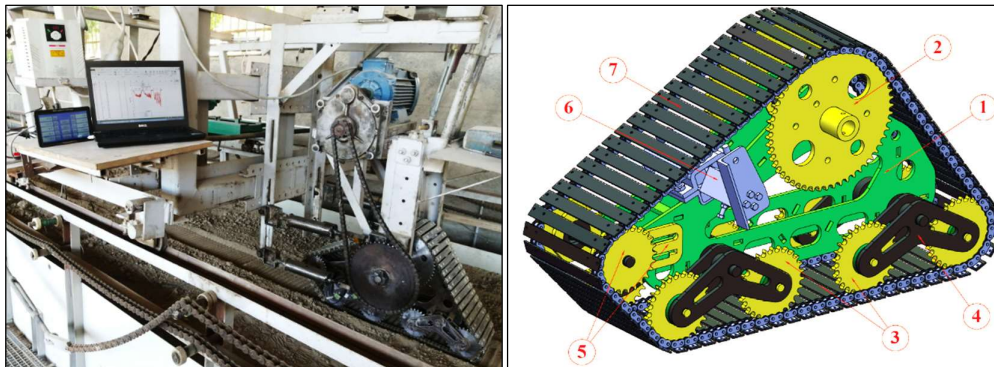
افزایش سطح تماس و کاهش میزان تنش‌های تماسی، مقایسه اثرات تردد دو چرخ بر خصوصیات فیزیکی خاک و ارزیابی روشی برای کاهش تراکم خاک در زیر چرخ‌ها در عمق ۳۵ سانتی‌متری است. نتایج ارائه شده از این پژوهش نشان داد که تنش عمودی حداکثر در زیر چرخ شنی کمتر از زیر چرخ بادی بود. توزیع تنش در زیر شنی لاستیکی کاملاً یکنواخت نبوده و تنش‌های اوج را در زیر غلتک‌های شنی ایجادشده است. جگالی خاک بعد از تردد برای دو سیستم حامل مشابه گزارش شد، اما نفوذپذیری خاک پس از تردد با استفاده از چرخ شنی کمتر است. همان‌طور که از سطح تماس و تنش اندازه‌گیری شده، انتظار می‌رود چرخ شنی می‌تواند بارهای یشتربی نسبت به تایر را حمل کند. با این حال، نتایج نفوذپذیری هوا به دلیل تحریک خاک در اثر نیروهای برشی بالا در زیر شنی لاستیک تفسیر می‌شود.<sup>[۱۶]</sup>

محاسبه و مقایسه پارامترهای خاک تحت اثر متقابل چرخ-خاک با چرخ‌شنی-خاک به صورت مزروعه‌ای به دلیل عدم شرایط کنترلی، افزایش هزینه‌ها و همچنین زمان بر بودن نتایج مطلوبی حاصل نمی‌گردد. لذا ارائه روشی که بتوان از طریق آن نتایجی مفید و قابل اعتماد به دست آورد و در عین حال قابل استناد باشد، ضروری است. بنابراین هدف کلی از این تحقیق طراحی و ساخت یک سامانه تک چرخ شنی (متناوب با ابعاد آزمونگر تک چرخ انباره خاک گروه مکانیک بیوسیستم دانشگاه ارومیه) است که پس از ساخت در محیط آزمایشگاهی انباره خاک ارزیابی گردد. به منظور ارزیابی چرخ شنی ساخته شده، تنش‌های ایجادشده و میزان نشست خاک پس از تردد چرخ شنی و چرخ بادی مورد مطالعه قرار می‌گیرد. در مرحله آخر چرخ شنی ساخته شده با چرخ موجود مورد مقایسه قرار می‌گیرد.

## ۲- مواد و روش‌ها

### طرح اولیه و قسمت‌های مختلف چرخ شنی

چرخ شنی طراحی و ساخته شده در این پژوهش، شامل شاسی، چرخ محرک، چرخ‌های حامل (متحرک)، مکانیسم اسپکی، مکانیسم چرخ کشش و ثبت کشش شنی، شنی در گیر با خاک، مکانیسم ضد گشتاور، سیستم انتقال نیرو و تجهیزات اتصالات است. بر اساس بررسی‌های صورت گرفته و شناسایی قطعات و واحدهای موردنیاز، طرحی اولیه از سیستم چرخ شنی لاستیکی در نرم‌افزار Solidworks جهت تعیین فضاهای موردنیاز و به وجود آوردن مکانیسم اولیه طراحی و مدل‌سازی گردید. در مراحل آتی تحقیق بخش‌های مختلف با ابعاد آزمونگر تک چرخ بادی آزمایشگاه تراکم‌آنیک گروه مکانیک بیوسیستم دانشگاه ارومیه منطبق گردیده و قطعات قبل از اقدام به ساخت، تحلیل و طراحی نهایی آن به صورت نقشه استخراج گردید. چرخ شنی طراحی و ساخته شده دارای ابعاد به ترتیب طول، عرض و ارتفاع  $۹۰ \times ۲۲ \times ۵۵$  سانتی‌متر است. برای ارزیابی عملکرد و مقایسه با چرخ بادی، بر روی آزمونگر تک چرخ انباره خاک سوار شد. شکل (۱) نقشه و همچنین تصویری از چرخ شنی نصب شده بر روی حامل انباره خاک را نمایش داده است.



شکل ۱- نقشه سه بعدی کامپیوتوری و تصویری از چرخ شنی نصب شده بر روی حامل انباره خاک: ۱- شاسی، ۲- چرخ محرک، ۳- چرخ های حامل، ۴- مکانیسم اسبکی، ۵- مکانیسم چرخ کشش و تثبیت کشش شنی، ۶- مکانیسم ضد گشتاور و ۷- شنی درگیر با خاک.

شاسی یکی از بخش های اصلی این تجهیز و از لحاظ طراحی دارای اهمیت است. شاسی علاوه بر این که برای جایگیری دقیق ملحقات دستگاه و سیستم انتقال قدرت است، باید مقاومت کافی را داشته و از طرفی نیز نباید خیلی سنگین باشد. به همین دلیل تحلیل در خصوص بهینه سازی ابعادی و مقاومت سازه ای نیاز است. بعد از در نظر گرفتن پارامترهایی طراحی از جمله محدودیت ها هندسی در ابعاد و متعلقات در چرخ شنی و بیشینه بار اعمالی به شاسی، شاسی در نرم افزار SolidWorks طراحی شد سپس در نرم افزار ANSYS Workbench مورد تحلیل قرار گرفت. شاسی از دو ورق استاندارد ۸ میلی متر با فولاد St37 به صورت موازی موتاژ شده در ابعاد کلی  $35 \times 10 \times 67$  سانتی متر که در شکل (۱) با شماره ۱ نشان داده شده، طراحی شده است.

چرخ دنده محرک درواقع جایگزین رینگ اصلی چرخ است زیرا چرخ محرک توان دریافتنی را به شنی زنجیری انتقال می دهد. چرخ دنده محرک مشکل از دو چرخ دنده با استاندارد نمره ۵۰ و ۵۵ دنده ای از جنس فولاد و است (شکل (۱) شماره ۲). چرخ دنده محرک بر روی شاسی اصلی، بلبرینگ بندی شده و همچنین بر روی محور دریافت توان از سیستم انتقال توان توسط پین به محور متصل و سوار شده است.

مکانیسم اسبکی و چرخ دنده های حامل و متحرک بخش دیگر از چرخ شنی است که دو قائد تجهیز را تشکیل می دهد. چرخ دنده ها از طریق بلبرینگ و محور بندی به مکانیسم اسبکی مرتبط شده اند و درواقع وظیفه مهار و هدايت شنی، تثبیت شکل چرخ شنی و حمل وزن کل مجموعه را به عهده دارند. چرخ دنده ها حامل و متحرک تشکیل شده از ۸ چرخ دنده با استاندارد نمره ۵۰ و ۳۵ دنده ای از جنس فولاد و است (شکل (۱) شماره ۳). همچنین مجموعه مکانیسم از طریق محور بندی به صورت لو لا بی به شاسی اصلی متصل شده است تا مانع نوسان بیش از حد و حرکتی نرم تر به هنگام تردد و انطباق خوبی با عوارض زمین فراهم کند (شکل (۱) شماره ۴).

مکانیسم کشش و تثبیت کشش شنی (شکل (۱) شماره ۵) از دو چرخ دنده، یک عدد فنر، پیچ تنظیم فشار فنر در قالب یک مجموعه در درست شده است. این بخش تأمین کننده کشش اولیه و ثبات کشش مطلوب شنی در شرایط مختلف زمین، هدايت و قابلیت نصب و تعویض شنی را به عهده دارد. چرخ دنده های مورد استفاده از نمره استاندارد ۵۰ و ۳۰ دنده ای و بر یک محور بلبرینگ بندی سوار شده است. محور چرخ دنده در یک شیار لوپیایی شکل در قاب مجموعه، توسط فنر و پیچ تنظیم فشار فنر محدود شده و مجموعه نیز به شاسی اصلی متصل گردیده است.

سیستم ضد گشتاور میزان پیچش چرخ شنی را محدود و به چرخ شنی اجازه می دهد تا در حالت کشش شنی، یا برخورد با عوارض زمین حالت مفصلی پیدا نماید و بعد از عبور از مانع به طور خود کار چرخ به وضعیت عادی خود

بازخواهد گشت. سیستم ضد گشتاور در این تجهیز از نوع مکانیکی با مانع پلاستیکی و فتر است و میزان پیچش و اندازه آن توسط پیچهای تنظیم معین می‌گردد (شکل ۱) شماره ۶. این سیستم از یک طرف به چرخ شنی متصل و از طرف دیگر توسط رابط اتصال به شاسی انباره خاک محدود شده است.

شنی بخش در گیر با خاک در این پژوهش از نوع چرخ زنجیری است. با توجه به ابعاد چرخ شنی، بخش شنی از بخش‌های چون چرخ زنجیر شاخک‌دار نمره استاندارد ۵۰، ورق باضخامت ۳ میلی‌متری در ابعاد  $3 \times 22$  سانتی‌متری ساخته شده است. همان‌طور که در شکل ۱ شماره ۷ مشاهده می‌گردد، ورق‌ها بعد از عمل سوراخ‌کاری بر روی شاخک‌های چرخ زنجیر توسط پروژ شماره ۶ نصب شد.

#### آزمونگر تک چرخ و مراحل آزمایش‌ها

آزمایش‌های عملی در این پژوهش با استفاده از مخزن خاک واقع در دانشگاه ارومیه انجام شد (شکل ۲). این محیط آزمایشگاهی شامل بخش‌های متنوعی از جمله انباره خاک به طول معادل ۲۴ متر، عرض کanal ۲ متر و عمق لایه خاک یک متر که شرایط مناسب برای آزمایش‌های با حذف اثرات مرزی را فراهم آورده، حامل یا کشیده ابزار، تجهیزات آماده‌سازی خاک (دباله بندهای و پیله انباره خاک)، سامانه‌های کنترل و توان دهنی برای حرکت حامل، ابزارهای اندازه‌گیری است [۱۷]. دو نوع چرخ در آزمایش‌های این مطالعه مورد استفاده قرار گرفت: چرخ شنی طراحی و ساخت شده در این پژوهش و چرخ بادی (شکل ۲). چرخ بادی با مشخصات استاندارد (۸.۲۵-۱۶ Barez P.R HLF) است. وزن نهایی دو چرخ توسط نیروسنگ که بر روی آزمونگر تک چرخ نصب شده اندازه‌گیری گردید. سپس با اضافه کردن وزنه بر روی شاسی وزن چرخ‌ها در محدوده ۲۰۰ کیلوگرم کنترل شد.



شکل ۲- آزمونگر تک چرخ شنی، تک چرخ بادی و انباره خاک مورد استفاده در آزمون‌های تجربی.

برای انجام آزمون‌های تجربی، از سامانه اندازه‌گیری تنش عمودی که مشتمل از نیروسنگ (لودسل ۸ شکل) با ظرفیت ۱۰۰ کیلوگرم، مکانیسم تگه‌دار نرده نیروسنگ، سوپاپ دریافت‌کننده تنش، دیتالاگر به عنوان ذخیره کننده و کامپیوتر برای فرآخوانی اطلاعات ذخیره شده، استفاده شد. همان‌طور که در شکل ۳ ملاحظه می‌گردد نیروسنگ‌ها در گودال‌های حفاری شده در عمق‌های ۸، ۱۶ و ۲۴ سانتی‌متری قرار داده شد. با ترددهای ۱، ۲ و ۲۰ چرخ‌ها در سرعت ثابت ۱ کیلومتر بر ساعت از روی تنش سنج‌ها که در عمق‌های مختلف و زیرخط مرکزی چرخ مدفون شده بودند، تنش وارد به خاک در عمق‌های مختلف با سه تکرار اندازه‌گیری شد.



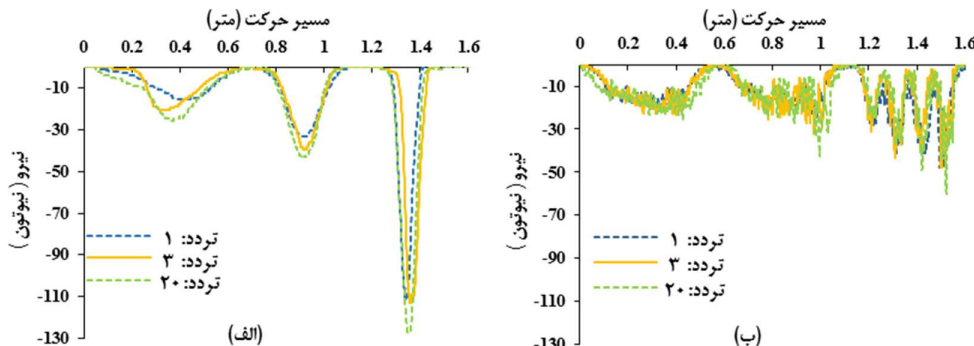
شکل ۳- سامانه اندازه گیری تنش عمودی در خاک: ۱- چرخ بادی (چرخ پنوماتیک)، ۲- چرخ شنی طراحی و ساخته شده در این پژوهش، ۳- دیتالاگر و ذخیره کننده اطلاعات حسگرهای نیروسنجد ۴- نیروسنجهای دفن شده در عمق های مختلف خاک.

#### واحد تحصیل داده

دقت در سامانه اندازه گیری تنش عمودی در خاک به عنوان مهم ترین قسمت در زمان داده برداری است بنابراین نیروسنجهای (لو DSL S شکل از نشانه Bongshin ساخت کرده) ابتدا واسنجی شد. داده های سنجیده شده توسط نیروسنجهای با استفاده از یک دیتالاگر با قابلیت اتصال نیروسنجد ۱۰ کاناله که به یک سیستم رایانه ای ارتباط دارد، ذخیره می گردد. داده های نیرو از نیروسنجهای به طور هم زمان، توسط دیتالاگر دریافت و در ستون هایی بر روی حافظه جانبی و یا مستقیماً به کامپیوتر منتقل و ثبت می شوند.

#### ۳- تحلیل نتایج

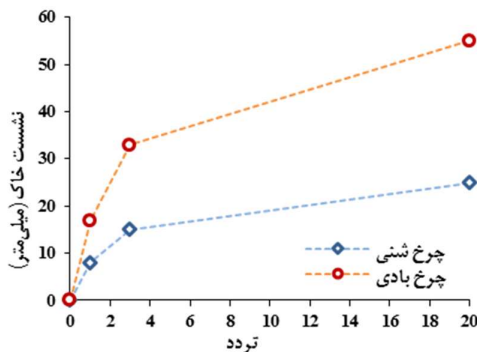
در این پژوهش پس از طراحی و ساخت تجهیز چرخ شنی و سوار کردن آن بر روی سیستم انباره خاک برای انجام آزمایش ها، رفتار چرخ شنی ساخته شده با چرخ بادی موردمطالعه قرار گرفت. پس از آماده سازی بستر خاک و قرار دادن سامانه اندازه گیری تنش عمودی به طور هم زمان در عمق های ۸، ۱۴ و ۲۴ سانتی متر خاک، آزمایش های مقایسه ای بین دو چرخ در شرایط کنترل شده آزمایشگاهی در تردد های ۱، ۳، و ۲۰، سرعت ثابت ۱ کیلومتر بر ساعت و سه تکرار انجام گردید. نیروهای سنجش توسط نیروسنجهای در اثر تردد چرخ ها، به وسیله دیتالاگر بر روی حافظه جانبی ثبت و به محیط اکسل منتقل شد. نتایج آزمایش ها به صورت نمودار فشار- طول مسیر حرکت چرخ ها در شکل های (۴) ارائه گردید. در این نمودارها، انتباق نتایج حاصل از داده برداری، دقت قابل قبولی را با توجه به شرایط یکسان آزمایش ها و خاک را نمایش می دهد.



شکل ۴- نتایج داده‌های ثبت شده به صورت نمودار نیرو-جابجایی توسط سامانه اندازه‌گیری تنش عمودی در عمق‌های ۸ و ۲۴ سانتی‌متری در ترددات مختلف: (الف) چرخ بادی، (ب) چرخ طراحی و ساخته شده در این پژوهش.

همان‌طور که از نمودارها شکل (۴) مشاهده می‌گردد، در تمام نتایج مربوط به آزمون مقایسه‌ای در شرایط یکسان در دو چرخ و ترددات مختلف، اندازه نیرو در عمق ۸ سانتی‌متری در تایر بادی مقداری حدوداً دو برابر نسبت به چرخ شنی ثبت شده است. همچنان در تمام نتایج آزمون‌ها در شرایط یکسان در دو چرخ و ترددات مختلف، اندازه فشار در عمق ۲۴ سانتی‌متری در تایر بادی و چرخ شنی طراحی و ساخته شده به صورت حدودی برابر ثبت گردیده است. به این معنی است که، چرخ بادی به هنگام تعامل چرخ-خاک در ایجاد تنش سطحی و تخریب خاک سهیم دو برابری در شرایط یکسان با چرخ شنی در سطح خاک ایجاد کرده است و همچنان به دلیل این که بارمحومری هر دو چرخ ثابت بوده مقدار تنش به عمق‌های زیرین رفته بین دو چرخ به مقدار یکسان نزدیک شده است [۱۸].

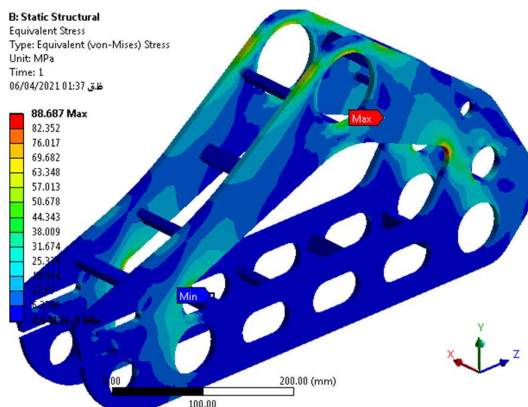
در ادامه آزمون‌های مقایسه‌ای بین دو چرخ، نشست خاک در اثر تردد چرخ‌ها اندازه‌گیری گردید. مقدار نشست چرخ شنی و چرخ بادی در اثر ترددات شکل ۵ ارائه شده است. در مقایسه تردد-نشست بین دو چرخ به صورت اختلاف درصدی در ترددات ۱، ۳، ۲۰ و ۲۰ به ترتیب ۷۲، ۷۵، و ۷۵ درصد چرخ شنی نشست کمتری در خاک ایجاد کرده است. همچنان در تحلیل‌های صحرایی و آزمایشگاهی مختلفی نشان‌دهنده کاهش فشرده‌گی خاک و درنتیجه کاهش فرورفتگی چرخ شنی در خاک بوده است [۱۹]. بنابراین در چرخ شنی طراحی و ساخته شده نسبت به چرخ بادی، شاهد کاهش فشرده‌گی و تنش چشم‌گیری در خاک هستیم.



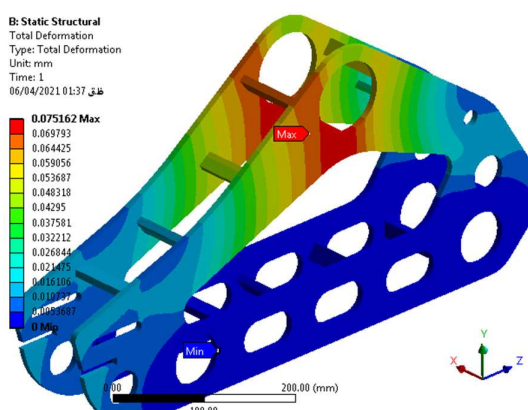
شکل ۵- اثر چرخ لاستیکی مرسوم و چرخ شنی بر روی خاک

#### تحلیل استحکام مکانیکی

تجهیز چرخ شنی تحت تأثیر بارهای مکانیکی نسبتاً بالایی است و لازم دیده شده قبل از ساخت شاسی که در ارتباط با تمام بخش‌های تجهیز است، استحکام مکانیکی آن بررسی گردد. پس از طراحی شاسی و دخیل دادن تمام محدودیت‌ها برای تحلیل مکانیکی از نرم‌افزار ANSYS استفاده گردید. همان‌طور که نتایج و نمای گرافیکی مربوط به تنش‌های وان‌مسیز بر اساس تحلیل اجزای محدود در (شکل ۶) مشاهده می‌شود، تنش ماکزیمم ایجاد شده در شاسی با ضریب اطمینان ۳، در حدود ۹۰ مگاپاسکال در شاسی مشاهده شد. بر اساس مشاهدات، ضریب اطمینان به دست آمده بالاتر از ۳ است که با توجه به شرایط کاری در سخت‌ترین وضعیت بارگذاری، ضریب اطمینان قابل قبولی به نظر می‌رسد. همچنین مطابق با تحلیل اجزای محدود انجام شده، تغییر شکل‌های به وجود آمده در شاسی بررسی گردید. نتایج و نمای گرافیکی تحلیل نشان می‌دهد (شکل ۷)، در یاتاقان بندی چرخ‌زنده محرك تجهیز چرخ شنی بیشترین تغییر شکل به وجود آمده است. بیشترین تغییر شکل‌های ایجادی در شاسی در حدود ۰/۰۷ میلی‌متر است که مقدار آن با توجه شکل و اندازه شاسی، ناقیز است.



شکل ۶- نمای گرافیکی از تحلیل تنش شاسی دستگاه در نرم‌افزار ANSYS 17 در محیط workbench



شکل ۷- نمای گرافیکی از تغییر شکل شاسی دستگاه در نرم‌افزار ANSYS 17 در محیط Workbench

این شامل طراحی و ساخت یک تجهیز چرخ شنی است که به طور خاص برای انجام آزمون‌های تراکمکانیک و امکان آزمایش‌های مقایسه‌ای تجربی چرخ بادی چرخ زنجیر است. نتایج کلی این تحقیق را می‌توان به شرح موارد زیر دسته‌بندی کرد:

- ۱- پس از طراحی، ساخت و مونتاژ بخش‌های مختلف تجهیز چرخ شنی، مکانیسم‌ها بر اساس هدف تحقیق به خوبی در کنار یکدیگر عمل نمود.
- ۲- استحکام مکانیکی تجهیز بر اساس بیشینه بارهای مکانیکی محتمل، مورد بررسی قرار گرفت و نتایج نشان داد تنش ماکریم در شاسی با ضریب اطمینان ۳، در حدود ۹۰ مگاپاسکال خواهد بود. همچنین حداکثر تغییر شکل به وجود آمده در شاسی در حدود ۰/۰۷ میلی‌متر مشاهده گردید. نتایج حاصله نشان از اینمی قابل قبول دستگاه از دیدگاه استحکام مکانیکی است.
- ۳- نتایج حاصل از آزمون‌های مقایسه‌ای بین چرخ شنی و چرخ بادی نشان می‌دهد که تنش سطحی در زیر چرخ شنی تا دو برابر از چرخ بادی کمتر است و نتایج نشست خاک نیز پایین بودن فشار زیر چرخ شنی را نشان می‌دهد به‌طوری‌که، در تردددهای ۱، ۲۰، ۷۲، ۷۵، و ۷۵ درصد چرخ شنی نشست کمتری نسبت به چرخ بادی در خاک ایجاد کرده است.

#### منابع

- [1] Chen, G., & Weil, R. R. (2011). Root growth and yield of maize as affected by soil compaction and cover crops. *Soil and Tillage Research*, 117, 17-27.
- [2] Modolo, A. J., Trogollo, E., Nunes, A. L., Silveira, J. C. M. D., & Kolling, E. M. (2011). Effect of soil compaction upon the seed on the development of bean culture. *Acta Scientiarum. Agronomy*, 33(1), 89-95.
- [3] Tolon-Becerra, A., Tourn, M., Botta, G. F., & Lastra-Bravo, X. (2011). Effects of different tillage regimes on soil compaction, maize (*Zea mays L.*) seedling emergence and yields in the eastern Argentinean Pampas region. *Soil and Tillage Research*, 117, 184-190.
- [4] Burt, E. C. (1993). Soil-tire/track interaction—current and future research needs. *Journal of terramechanics*, 30(5), 317-323.
- [5] Rasool, S., & Raheman, H. (2018). Improving the tractive performance of walking tractors using rubber tracks. *Biosystems engineering*, 167, 51-62.
- [6] Arvidsson, J., Westlin, H., Keller, T., & Gilbertsson, M. (2011). Rubber track systems for conventional tractors—Effects on soil compaction and traction. *Soil and Tillage Research*, 117, 103-109.
- [7] Keller, T., Trautner, A., & Arvidsson, J. (2002). Stress distribution and soil displacement under a rubber-tracked and a wheeled tractor during ploughing, both on-land and within furrows. *Soil and Tillage Research*, 68(1), 39-47.
- [8] Servadio, P., Marsili, A., Pagliai, M., Pellegrini, S., & Vignozzi, N. (2001). Effects on some clay soil qualities following the passage of rubber-tracked and wheeled tractors in central Italy. *Soil and Tillage Research*, 61(3-4), 143-155.
- [9] Crolla, D. A., & Schwanghart, H. (1992). Vehicle dynamics—steering I. *Journal of*

*Terramechanics*, 29(1), 7-17.

- [10] Tran, D. T., O'Brien, J., & Muro, T. (2002). An optimal method for the design of a robotic tracked vehicle to operate over fresh concrete under steering motion. *Journal of terramechanics*, 39(1), 1-22.
- [11] Wong, J. Y. (2009). *Terramechanics and off-road vehicle engineering: terrain behaviour, off-road vehicle performance and design*. Butterworth-heinemann.
- [12] Park, W. Y., Chang, Y. C., Lee, S. S., Hong, J. H., Park, J. G., & Lee, K. S. (2008). Prediction of the tractive performance of a flexible tracked vehicle. *Journal of Terramechanics*, 45(1-2), 13-23.
- [13] Franceschetti, B., Capacci, E., & Rondelli, V. (2016). Effects of rubber tracks on narrow-track tractors on the non-continuous rolling prediction model. *Journal of agricultural safety and health*, 22(4), 262-273.
- [14] Gat, G., Franco, Y., & Shmulevich, I. (2020). Fast dynamic modeling for off-road track vehicles. *Journal of Terramechanics*, 92, 1-12.
- [15] Lamandé, M., Greve, M. H., & Schjønning, P. (2018). Risk assessment of soil compaction in Europe—Rubber tracks or wheels on machinery. *Catena*, 167, 353-362.
- [16] Lamandé, M., Greve, M. H., & Schjønning, P. (2018). Risk assessment of soil compaction in Europe—Rubber tracks or wheels on machinery. *Catena*, 167, 353-362.
- [17] McKyes, E., & Fan, T. (1985). Multiplate penetration tests to determine soil stiffness moduli. *Journal of terramechanics*, 22(3), 157-162.
- Ansorge, D., & Godwin, R. J. (2008). The effect of tyres and a rubber track at high axle loads on soil compaction—Part 2: Multi-axle machine studies. *Biosystems Engineering*, 99(3), 338-347.

## **Design, fabrication and Evaluation of a laboratory single-wheel Track system**

Houshang Mahboub Yangeje<sup>\*a</sup>, Maziar Faizollahzadeh<sup>b</sup>, Aref mardani Korani<sup>c</sup>

<sup>a</sup> PhD student, Department of Biosystems Engineering, Urmia University, Urmia, Iran.

<sup>b</sup> PhD Graduated, Department of Biosystems Engineering, Urmia University, Urmia, Iran.

<sup>c</sup> Associate Professor, Department of Biosystems Engineering, Urmia University, Urmia, Iran.

### **Abstract**

Vehicle traffic on the ground takes place through the wheel-to-ground surface contact and the wheel-soil interaction. Due to the expansion of the use of machines and the increasing trend of their weight to increase performance, the traffic of these machines raises the importance of issues such as creating stress on the soil, improving traction and reducing energy consumption. In this research, an experimental single wheel track wheel system was designed and built. To perform the experiments, the track wheel and Pneumatic wheels were placed on a soil bin carrier with loamy-clay soil. Soil stresses and soil sinkage under wheels were measured at depths of 8, 14 and 24 cm and at 1, 7 and 20 traffic at a constant speed of 1 km/h. The results of the evaluation of the operation of the device and the experiments indicate the acceptable and significant performance of the track wheel mechanism as well as the low pressure under the track wheel. So that in 1, 7 and 20 traffic, 72, 70.97 and 75% of the track wheel has caused less sinkage than the Pneumatic wheels in the soil, respectively.

**Keywords:** Chain Track, Pneumatic Wheels, Soil compaction, Soil bin, Tramcanic.

\*Corresponding author

E-mail: h.mahboub@urmia.ac.ir